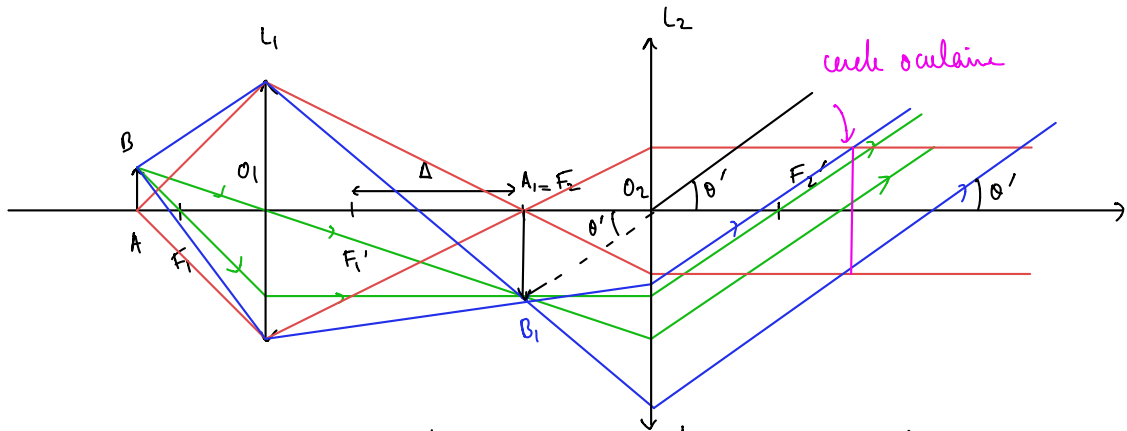


I) 1.

objet AB $\xrightarrow{L_1}$ objetif image intermédiaire A_1B_1 dans le plan focal objet de l'oculaire $\xrightarrow{L_2}$ oculaire image virtuelle à l'infini renversée



dessiner de gauche à droite, L_1 symétrique pour le cercle oculaire

— pour // pour /

Position du cercle oculaire

Relation de conjugaison de Newton

$$\overline{F_2 O_A} \cdot \overline{F_2' C} = -f_2'^2 \quad \rightarrow \quad \overline{F_2' C} = \frac{f_2'^2}{\Delta + f_1'}$$

006 $\Delta = 160 \text{ mm}$
 $f_1' = 25 \text{ mm} \rightarrow F_2' C \approx 3 \text{ mm}$
 $f_2' = 40 \text{ mm}$

Taille du cercle oculaire:

th. Thalès

$$\frac{D_1}{D_c} = \frac{\Delta + f_1'}{f_2'}$$

$$D_c = \frac{D_1 f_2'}{\Delta + f_1'}$$

99 mm

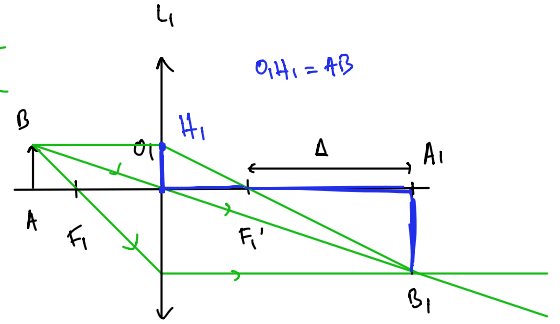
2. les grandeurs sont prises positives (non algébriques)

• Puissance $P \equiv \frac{\theta'}{AB}$ en m^{-1} .

$P = \frac{\theta'}{A_1 B_1} \cdot \frac{A_1 B_1}{AB} = P_{ocu} \cdot \gamma_{obj}$ grandissement transversal

Graphiquement, $\theta' \stackrel{\text{Gauss}}{=} \frac{A_1 B_1}{F_2 O_2} \rightarrow P_{ocu} = \frac{1}{f_2'}$

thés sur les triangles bleus $\gamma_{obj} \stackrel{\text{thés}}{=} \frac{F_1' A_1}{O_1 F_1'} = \frac{\Delta}{d_1'}$



où $\Delta = F_1' F_2$ est l'intervalle optique

Finalement, $P = \frac{\Delta}{d_1' f_2'}$

ODG : $\Delta = 160 \text{ mm}$ microscopes commerciaux

$P \sim 160 \text{ à } 4000 \text{ s}$

• Grossissement commercial

$G_c = \frac{\theta'}{\theta_{pp}} = \frac{\theta'}{AB} \cdot (25 \text{ cm}) = P \cdot (25 \text{ cm}) = \frac{P}{(4 \text{ s})}$



ODG : $G_c \sim 40 \text{ à } 1000$

• Profondeur de champ

$l = \frac{\lambda}{4 G_c^2}$

ODG : $P = 160 \text{ s} \quad l = 0,16 \text{ mm}$
 $P = 1600 \text{ s} \quad l = 1,6 \text{ }\mu\text{m}$

$A_{\infty} \xrightarrow{L_1} F_2 \xrightarrow{L_2} \infty$

$A_p \xrightarrow{L_1} A_{p_1} \xrightarrow{L_2} \text{P.P.}$

pp = 25 cm

obj. axels.

$l = \overline{A_{\infty} A_p} = \overline{A_{\infty} F_1} + \overline{F_1 A_p} = \frac{f_1'^2}{\frac{F_1' A_1 P}{\Delta}} - \frac{f_1'^2}{\frac{F_1' A_1 P}{\Delta + F_2 A_1 P}} = \frac{f_1'^2}{\Delta} - \frac{f_1'^2}{\Delta - \frac{f_2'^2}{F_2' P P}} = \frac{f_1'^2}{\Delta} \left(1 - \frac{1}{1 + \frac{f_2'^2}{F_2' P A}} \right) \approx \frac{4 f_1'^2 f_2'^2}{\Delta^2} = \frac{1}{4 G_c^2}$

Newton x2 $\frac{f_1'^2}{\Delta}$ $\frac{f_2'^2}{F_2' P P}$ $F_2' \approx$ cercle oculaire pour le microscope simple

Diffraction

$$\theta = 1,22 \cdot \frac{\lambda}{D}$$

↑
diamètre
lentille

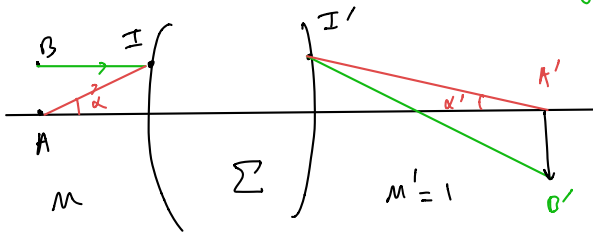
1 car on observe dans l'air
rayon de la lentille $\frac{D}{2}$

Condition d'Abbe (aplanétisme)

$$n \cdot AB \cdot \sin \alpha = n' \cdot R \cdot \sin \alpha'$$

O.N. ouverture
numérique

↑
 $\alpha' = 1,22 \cdot \frac{\lambda}{D}$ critère de Rayleigh



$$AB = \frac{0,61 \cdot \lambda}{n \cdot \sin \alpha} = \frac{0,61 \cdot \lambda}{O.N.} \approx \lambda$$

2. 1. Onde monochromatique

$$E_0(x, y, z=0) = E_{inc}(x, y, z=0) \tau(x, y)$$

↙ objet à étudier

$$E_0(x, y) = \iint_{-\infty}^{+\infty} dk_x dk_y \tilde{E}_0(k_x, k_y) e^{i(k_x x + k_y y)}$$

$$E_0(x, y, z) = \iint_{-\infty}^{+\infty} dk_x dk_y \tilde{E}_0(k_x, k_y) e^{i(k_x x + k_y y + k_z z)}$$

où l'équation de Helmholtz donne $k_z^2 = \underbrace{\left(\frac{\omega}{c}\right)^2 - k_x^2 - k_y^2}_{\Delta} \quad (m=1)$

si $\Delta < 0 \rightarrow k_z \in i\mathbb{R}$ onde évanescente

$\Delta > 0 \rightarrow k_z \in \mathbb{R}$ onde propagative